# VIBRATIONAL SPECTROSCOPIC STUDY AND THERMAL DECOMPOSITION KINETICS OF SOME SINGLE AND BINARY METAL PHOSPHATE HYDRATES

MR. SURASUK BOONTIMA

A THESIS FOR THE DEGREE OF MASTER OF SCIENCE

KHON KAEN UNIVERSITY

2010

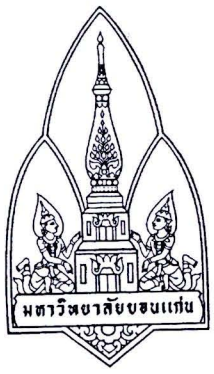


# VIBRATIONAL SPECTROSCOPIC STUDY AND THERMAL DECOMPOSITION KINETICS OF SOME SINGLE AND BINARY METAL PHOSPHATE HYDRATES


MR. SURASUK BOONTIMA

A THESIS FOR THE DEGREE OF MASTER OF SCIENCE

KHON KAEN UNIVERSITY

2010

# VIBRATIONAL SPECTROSCOPIC STUDY AND THERMAL DECOMPOSITION KINETICS OF SOME SINGLE AND BINARY METAL PHOSPHATE HYDRATES

MR. SURASUK BOONTIMA

A THESIS SUMITTED IN PARTIAL FULFILMENT OF THE REQUIREMENTS FOR THE DEGREE OF MASTER OF SCIENCE IN PHYSICAL CHEMISTRY

GRADUATE SCHOOL
KHON KAEN UNIVERSITY

2010

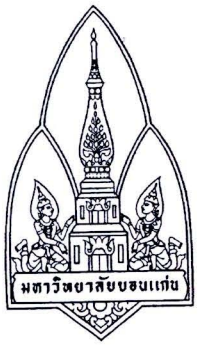


# THESIS APPROVAL
# KHON KAEN UNIVERSITY
# FOR
# MASTER OF SCIENCE
# IN PHYSICAL CHEMISTRY

**Thesis Title :** Vibrational Spectroscopic Study and Thermal Decomposition Kinetics of Some Single and Binary Metal Phosphate Hydrates

**Author :** Mr. Surasuk Boontima

**Thesis Examination Committees :**

| | |
|---|---|
| Asst. Prof. Dr. Kunwadee Rangsriwatananon | Chairperson |
| Asst. Prof. Dr. Chanaiporn Danvirutai | Member |
| Asst. Prof. Dr. Tipaporn Srithanratana | Member |
| Asst. Prof. Dr. Jinda Khemprasit | Member |
| Asst. Prof. Dr. Khatcharin Siriwong | Member |

**Thesis Advisors :**

C. Danvirutai .....Advisor

(Asst. Prof. Dr. Chanaiporn Danvirutai)

Tipaporn Srithanratana .....Co-Advisor

(Asst. Prof. Dr. Tipaporn Srithanratana)

L Manmart .....

(Assoc. Prof. Dr. Lampang Manmart)

Dean, Graduate School

K. Sangaroon .....

(Asst. Prof. Dr. Kiat Sangaroon)

Dean, Faculty of Science

สุรศักดิ์ บุญธิมา. 2553. **การศึกษาฟอสเฟตไฮเดรตของโลหะเดี่ยวและโลหะคู่ด้วยวิธีสเปกโทรสโกปีการสั่นและจลนพลศาสตร์การสลายตัวด้วยความร้อน.** วิทยานิพนธ์ปริญญาวิทยาศาสตรมหาบัณฑิต สาขาวิชาเคมีฟิสิกัล บัณฑิตวิทยาลัย มหาวิทยาลัยขอนแก่น.

**อาจารย์ที่ปรึกษาวิทยานิพนธ์**: ผศ. ดร. ไฉนพร ด่านวิรุทัย,
ผศ. ดร. ทิพาภรณ์ ศรีธัญรัตน์

## บทคัดย่อ



ได้เตรียมฟอสเฟตไฮเดรตโลหะเดี่ยวและโลหะคู่ 7 ชนิดคือ $ZnHPO_4.H_2O$, $Co(H_2PO_4)_2.2H_2O$, $LiFePO_4.3H_2O$, $LiCoPO_4.3H_2O$, $LiNiPO_4.H_2O$, $LiMnPO_4.H_2O$ และ $Li_2Zn(HPO_4)_2.H_2O$ รวมทั้งสารประกอบดิวเทอเรตของไฮเดรตเหล่านี้ จำนวนโมลของน้ำในไฮเดรตที่เตรียมขึ้นได้ หาโดยอาศัยเทคนิค TG/DTG/DTA และ วิธีคาร์ล ฟิชเชอร์ ส่วนการหาปริมาณโลหะเหล็ก แมงกานีส โคบอลต์ นิเกิล และสังกะสี ได้ใช้เทคนิค AAS และ การหาปริมาณโลหะลิเทียม ใช้เทคนิค AES โครงสร้างของสารที่เตรียมได้ยืนยันเพิ่มเติมจากผลของ XRD ผลที่ได้จากเทคนิคเหล่านี้ สามารถยืนยันสูตรโมเลกุลของไฮเดรตที่เตรียมขึ้นมาได้ว่าเป็นไปตามที่ระบุ พร้อมทั้งได้บันทึกสเปกตรัมการสั่น และวิเคราะห์รายละเอียดของแถบการสั่นโดยอาศัยการวิเคราะห์การแตกออกของสนามสหสัมพันธ์ ผลการศึกษาพบว่า การสั่นแบบโค้งงอของน้ำใน $ZnHPO_4.H_2O$ และ $Co(H_2PO_4)_2.2H_2O$ ปรากฏที่ตำแหน่ง 1638 และ 1610 $cm^{-1}$ ตามลำดับ ในสารประกอบ $LiFePO_4{\cdot}3H_2O$ ปรากฏที่ตำแหน่ง 1619 และ 1400 $cm^{-1}$ ในสารประกอบ $LiCoPO_4.3H_2O$ ปรากฏที่ตำแหน่ง 1622 และ 1583 $cm^{-1}$ ในสารประกอบ $LiNiPO_4.H_2O$, $LiMnPO_4.H_2O$ และ $Li_2Zn(HPO_4)_2.H_2O$ ปรากฏที่ตำแหน่ง 1594, 1609 และ 1609 $cm^{-1}$ ค่าความถี่การสั่นแบบไม่คู่ควบของหมู่ OH [$\nu_{OH}$(HOD)] ในสารประกอบฟอสเฟตไฮเดรตที่เลือกศึกษานี้ สามารถนำไปประมาณค่าระยะห่างระหว่างออกซิเจนของน้ำกับออกซิเจนของแอนไอออน ($R_{O...O}$) และเอนทาลปีของพันธะไฮโดรเจน · [$\Delta H_H$ (kJ/mol)] ของ $LiFePO_4.3H_2O$, $LiCoPO_4.3H_2O$, $LiNiPO_4.H_2O$ และ $LiMnPO_4.H_2O$ ได้ โดยใช้สมการ $R_{O...O}$ = 3.764 (Å) – 0.169 (Å) ln $\Delta\nu_{OH}$(HOD)/$cm^{-1}$ Å และ $-\Delta H_H = 1.286 + 0.0418\ \Delta\nu_{OH}$(HOD)/ $cm^{-1}$ kJ/mol ตามลำดับ พบว่าค่าระยะ $R_{O...O}$ และ $-\Delta H_H$ มีค่าเท่ากับ 2.787, 2.781, 2.765, 2.755 Å, และ 14.9, 15.3, 16.7, 17.4 kJ/mol OH ตามลำดับ การสลายตัวทางความร้อนของไฮเดรตที่เตรียมได้ศึกษาโดยเทคนิค DSC และพลังงานกระตุ้นหาได้โดยวิธีของ Ozawa และ Kissinger

การสลายตัวทางความร้อนของ $ZnHPO_4.H_2O$ พบว่ามีสองขั้นตอน ขั้นตอนแรกเป็นการหลุดออกของน้ำผลึกส่วนขั้นตอนที่สองเป็นการปลดปล่อยน้ำที่เป็นองค์ประกอบในแอนไอออน $HPO_4^{2-}$ แล้วเปลี่ยนไปเป็น $P_2O_7^{4-}$ พลังงานกระตุ้นของขั้นตอนแรกและขั้นตอนที่สองที่คำนวณโดยวิธีของ Ozawa ได้เท่ากับ 258.7 และ 252.6 kJ/mol ตามลำดับ และเท่ากับ 250.0 และ 242.2 kJ/mol ตามลำดับ โดยวิธี Kissinger การสลายตัวทางความร้อนของ $Co(H_2PO_4)_2.2H_2O$ สังเกตเห็นสองขั้นตอน ขั้นตอนแรกเป็นการหลุดออกของน้ำผลึกส่วนขั้นตอนที่สองเป็นการปลดปล่อยน้ำที่เป็นองค์ประกอบในแอนไอออน $H_2PO_4^-$ แล้วเปลี่ยนไปเป็น $P_4O_{12}^{4-}$ พลังงานกระตุ้นของขั้นตอนแรกและขั้นตอนที่สองที่คำนวณโดยวิธีของ Ozawa ได้เท่ากับ 112.9 และ 217.3 kJ/mol ตามลำดับ และเท่ากับ 104.5 และ 207.7 kJ/mol ตามลำดับ โดยวิธี Kissinger การสลายตัวทางความร้อนของ $LiFePO_4{\cdot}3H_2O$ มีสามขั้นตอน พลังงานกระตุ้นของขั้นตอนที่หนึ่ง สอง และสาม ที่คำนวณโดยวิธีของ Ozawa เท่ากับ 98.0, 121.9 และ 253.3 kJ/mol ตามลำดับ และเท่ากับ 91.4, 114.1 และ 243.8 kJ/mol ตามลำดับ โดยวิธี Kissinger การสลายตัวทางความร้อนของ $LiCoPO_4.3H_2O$ มีสามขั้นตอน พลังงานกระตุ้นของขั้นตอนที่หนึ่ง สอง และสาม ที่คำนวณโดยวิธีของ Ozawa เท่ากับ 117.0, 459.3 และ 556.9 kJ/mol ตามลำดับ และเท่ากับ 109.4, 450.8 และ 548.8 kJ/mol โดยวิธี Kissinger การสลายตัวทางความร้อนของ $LiNiPO_4.H_2O$ มีหนึ่งขั้นตอน มีพลังงานกระตุ้นเท่ากับ 142.5 และ 134.1 kJ/mol โดยวิธีของ Ozawa และ Kissinger ตามลำดับ การสลายตัวทางความร้อนของ $LiMnPO_4.H_2O$ เกิดขึ้นหนึ่งขั้นตอน มีพลังงานกระตุ้นเท่ากับ 115.5 และ 107.5 kJ/mol โดยวิธีของ Ozawa และ Kissinger ตามลำดับ พบว่าในสารประกอบ $LiFePO_4.3H_2O$, $LiCoPO_4.3H_2O$, $LiNiPO_4.H_2O$ และ $LiMnPO_4.H_2O$ การสูญหายของมวลในแต่ละขั้นตอนสอดคล้องกับจำนวนโมลของน้ำผลึกที่หลุดออกจากโครงผลึกและผลิตภัณฑ์สุดท้ายของการสลายตัวของไฮเดรตเหล่านี้จะได้สารปราศจากน้ำที่สอดคล้องกันคือ $LiFePO_4$, $LiCoPO_4$, $LiNiPO_4$ และ $LiMnPO_4$ ตามลำดับ ซึ่งนำไปใช้ในอุตสาหกรรมลิเทียมแบตเตอรีต่อไปได้ ส่วนการสลายตัวทางความร้อนของ $Li_2Zn(HPO_4)_2.H_2O$ มีสองขั้นตอนโดยขั้นตอนแรกเป็นการหลุดออกของน้ำผลึกมีพลังงานกระตุ้นเท่ากับ 102.6 และ 213.5 kJ/mol และขั้นตอนที่สองเป็นการปลดปล่อยน้ำที่เป็นองค์ประกอบในแอนไอออน $HPO_4^{2-}$ แล้วเปลี่ยนไปเป็น $P_2O_7^{4-}$ มีพลังงานกระตุ้นเท่ากับ 94.8 และ 204.0 kJ/mol โดยวิธีของ Ozawa และ Kissinger ตามลำดับ จากการศึกษากระบวนการกำจัดน้ำออกจากโครงสร้างและการนำน้ำกลับเข้ามาในโครงสร้างอีกนั้นเป็นกระบวนการผันกลับ ภายใต้อุณหภูมิที่ไม่เกิน 200 °C

Surasuk Boontima. 2010. **Vibrational Spectroscopic Study and Thermal Decomposition Kinetics of some Single and Binary Metal Phosphate Hydrates**. Master of Science Thesis in Physical Chemistry, Graduate School, Khon Kaen University.

**Thesis Advisors :** Asst. Prof. Dr. Chanaiporn Danvirutai,
Asst. Prof. Dr. Tipaporn Srithanratana

## ABSTRACT



Seven single and binary metal phosphate hydrates, namely $ZnHPO_4.H_2O$, $Co(H_2PO_4)_2.2H_2O$, $LiFePO_4.3H_2O$, $LiCoPO_4.3H_2O$, $LiNiPO_4.H_2O$, $LiMnPO_4.H_2O$ and $Li_2Zn(HPO_4)_2.H_2O$, and their partially deuterated analogue were synthesized. The mole number of water of all hydrates were determined by TG/DTG/DTA and Karl Fischer methods. The metal contents of these hydrates were determined by using the AAS for Fe, Mn, Co, Ni and Zn, while Li was determined by AES methods. Their structures were additionally characterized by XRD method. The results confirm the hydrate formula. Their vibrational spectra were recorded on an FTIR/FT Raman spectrophotometer and analyzed by using the correlation field splitting analysis. The water bending vibrational bands of $ZnHPO_4.H_2O$ and $Co(H_2PO_4)_2.2H_2O$ were observed at 1638 and 1610 $cm^{-1}$, respectively. The water bending vibrational bands of $LiFePO_4{\cdot}3H_2O$ were observed at 1619 and 1400 $cm^{-1}$, while those of $LiCoPO_4.3H_2O$ were found at 1622 and 1583 $cm^{-1}$. The single water bending vibration of $LiNiPO_4.H_2O$, $LiMnPO_4.H_2O$ and $Li_2Zn(HPO_4)_2.H_2O$ were observed at 1594, 1609 and 1609 $cm^{-1}$, respectively. The observed uncoupled $\nu_{OH}$ (HOD) vibrations in selected phosphate hydrates lead to the estimation of the internuclear distances between water oxygen and anion oxygen ($R_{O\cdots O}$) and enthalpies of hydrogen bonding ($-\Delta H_H$) of $LiFePO_4.3H_2O$, $LiCoPO_4.3H_2O$, $LiNiPO_4.H_2O$ and $LiMnPO_4.H_2O$ by using equation $R_{O\cdots O} = 3.764$ (Å) $- 0.169$ (Å) ln $\Delta\nu_{OH}(HOD)/cm^{-1}$ Å and $-\Delta H_H = 1.286 + 0.0418\ \Delta\nu_{OH}(HOD)/cm^{-1}$ kJ/mol, respectively. The $R_{O\cdots O}$ and $-\Delta H_H$ were found to be 2.787, 2.781, 2.765, 2.755 Å and 14.9, 15.3, 16.7 and 17.4 kJ/mol OH, respectively. Thermal decomposition of synthesized hydrates were studied by using DSC method

and the activation energy values were calculated by Ozawa and Kissinger methods. The thermal decomposition of $ZnHPO_4.H_2O$ was observed to be in two steps. The first step corresponds to the removal of water of crystallization molecule from the structure. The second step can be described as an additional dehydration from the $HPO_4^{2-}$ anions and transformed into $P_2O_7^{4-}$ ions. The activation energy values of the first and second steps calculated by Ozawa method were found to be 258.7 and 252.6 kJ/mol, and 250.0 and 242.2 kJ/mol for Kissinger method, respectively. The thermal decomposition of $Co(H_2PO_4)_2.2H_2O$ was observed to be in two steps. The first step corresponds to the removal of water of crystallization molecule from the structure. The second step can be described as an additional dehydration from the $HPO_4^{2-}$ anions and transforms into $P_4O_{12}^{4-}$ ions. The activation energy values of the first and second steps calculated by Ozawa method were found to be 112.9 and 217.3 kJ/mol, respectively, and 104.5 and 207.7 kJ/mol for Kissinger method. The thermal decomposition of $LiFePO_4 \cdot 3H_2O$ appeared in three steps. The activation energy values of the first, second and third steps calculated by Ozawa method were found to be 98.0, 121.9 and 253.3 kJ/mol, and 91.4, 114.1 and 243.8 kJ/mol for Kissinger method, respectively. The thermal decomposition of $LiCoPO_4.3H_2O$ was observed to be in three steps. The activation energy values of the first, second and third steps calculated by Ozawa method were found to be 117.1, 459.3 and 556.9 kJ/mol, and 109.4, 450.8 and 548.8 kJ/mol for Kissinger method, respectively. The thermal decomposition of $LiNiPO_4 \cdot H_2O$ was observed to be in one step and the activation energy values were found to be 142.5 and 134.1 kJ/mol for the Ozawa and Kissinger methods, respectively. The thermal decomposition of $LiMnPO_4 \cdot H_2O$ exhibited one step and the activation energy values were found to be 115.5 and 107.5 kJ/mol for the Ozawa and Kissinger methods, respectively. The observed mass losses of the $LiFePO_4.3H_2O$, $LiCoPO_4.3H_2O$, $LiNiPO_4.H_2O$ and $LiMnPO_4.H_2O$ correspond to the mole number of water of crystallization. The anhydrous forms are $LiFePO_4$, $LiCoPO_4$, $LiNiPO_4$ and $LiMnPO_4$, those can be further used in the lithium ion battery industry. The thermal decomposition of $Li_2Zn(HPO_4)_2.H_2O$ exhibited two steps of mass losses. The first one corresponds to the removal of water of crystallization molecule from the structure. The second one can be described as an additional dehydration from the $HPO_4^{2-}$ anions and transforms into $P_2O_7^{4-}$ ions. The study of the dehydration and

rehydration processes in $Li_2Zn(HPO_4)_2.H_2O$ illustrated that the water molecules can be removed and rehydrated under the condition of lower than 200 °C.

**The goodness of the present thesis is dedicated to my beloved parents and the entire teaching staff.**

# ACKNOWLEDGEMENTS

I would like to express my sincere gratitude to my advisor, Asst. Prof. Dr. Chanaiporn Danvirutai, for her excellent supervision, inspiring guidance and encouragement throughout this research. I am grateful to my co – advisor, Asst. Prof. Dr. Tipaporn Srithanratana for her invaluable advice and helpful criticism.

I would like to thank Assoc. Prof. Dr. Nithima Khaorapapong for her kind guidance about the measurement of thermal properties of hydrates by using TG/DTG/DTA technique. I also would like to acknowledge Mr. Nath Phuwongpah for the suggestion in preparation and operation of the AAS and AES.

I gratefully acknowledge the department of chemistry, faculty of science, Khon Kaen University for providing the facilities throughout. I also wish to thank the Center of Excellence for Innovation in Chemistry (PERCH-CIC) for the financial support.

The appreciation is also expressed to my friends, Miss Pittayagorn Noisong, Mr. Boonprasert Wondee for their kindness, readiness to help and being great friends.

Finally, I am grateful to my parents for their support, understanding and encouragement throughout my study.

Surasuk Boontima

# TABLE OF CONTENTS

# TABLE OF CONTENTS (Cont.)

# TABLE OF CONTENTS (Cont.)

# TABLE OF CONTENTS (Cont.)

# LIST OF TABLES

# LIST OF TABLES (Cont.)

# LIST OF TABLES (Cont.)

# LIST OF TABLES (Cont.)

# LIST OF TABLES (Cont.)

# LIST OF FIGURES

# LIST OF FIGURES (Cont.)

# LIST OF FIGURES (Cont.)

# LIST OF FIGURES (Cont.)

# LIST OF FIGURES (Cont.)

# LIST OF FIGURES (Cont.)

## LIST OF FIGURES (Cont.)

# LIST OF FIGURES (Cont.)

# LIST OF FIGURES (Cont.)

# LIST OF FIGURES (Cont.)

# LIST OF ABBREVIATIONS

| Symbols | Meaning |
|---|---|
| $\beta$ | H – bond angle |
| $\nu$ | Stretching vibration (Wavenumber, $cm^{-1}$) |
| $\nu_{OH}$(HOD) | OH stretching of HOD molecule |
| $\nu_{OD}$(HOD) | OD stretching of HOD molecule |
| $\delta$ | Bending vibration |
| $\rho$ | Libration modes of water molecule (hindered rotations) |
| $\Delta\nu$ | Frequency shift, where $\Delta\nu$ of vapor = 0 |
| $\Gamma$ | Distribution of the irreducible representation for a particular correlation field splitting |
| b | Broad peak |
| -dx | The sample has partially D isotope in form of HOD |
| $\Delta H_H$ | Enthalpy of hydrogen bonding ($kJmol^{-1}OH$) |
| DI | De-ionized water |
| $R_{O...O}$ | The distance between oxygen of water and oxygen of anion group ($PO_4^{3-}$) |
| s | Strong peak |
| sh | Shoulder peak |
| sp | Sharp peak |
| w | Weak peak |
| vs | Very strong peak |
| vw | Very weak peak |
| Z′ | Number of molecules in the crystallographic cell |
| Z | Number of molecules in the Bravais of primitives cell<br>Z′ = Z / repeat units in cell |